

図 7: 三体近接衝突を経験する二等辺問題軌道. 初期位置は (a) $(x, y) = (0.4008347, 0.4341623)$
and (b) $(x, y) = (0.4063779, 0.4226183)$.

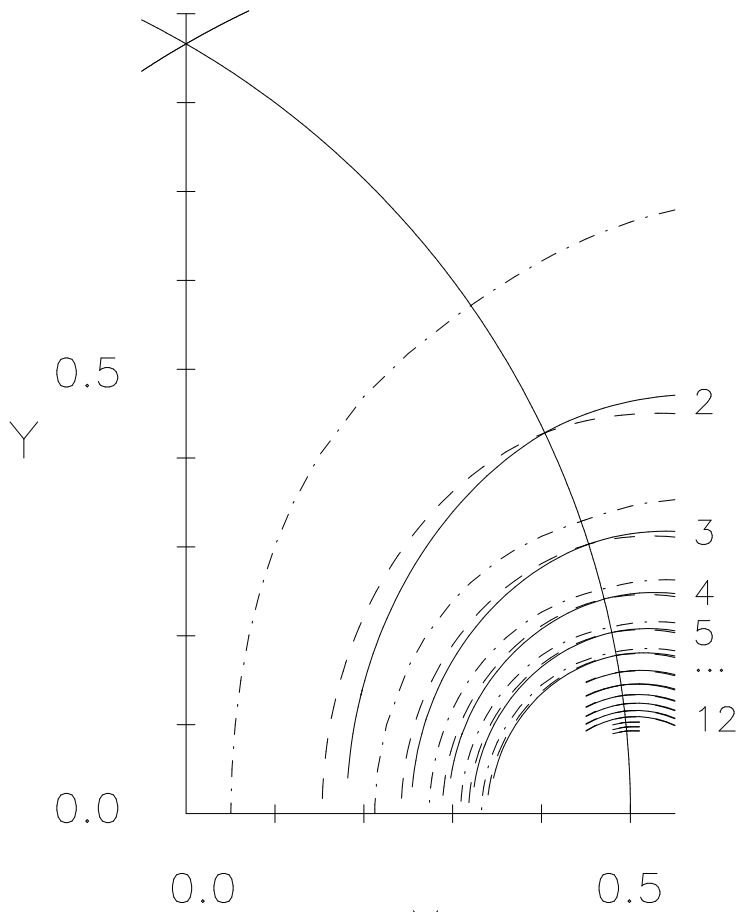


図 8: 点 $B(0.5, 0)$ に収束する二体衝突曲線列. 実線, 点破線, 破線はタイプ 1, 2, 3 の衝突曲線を表す. そばの数字は n_{min} である.

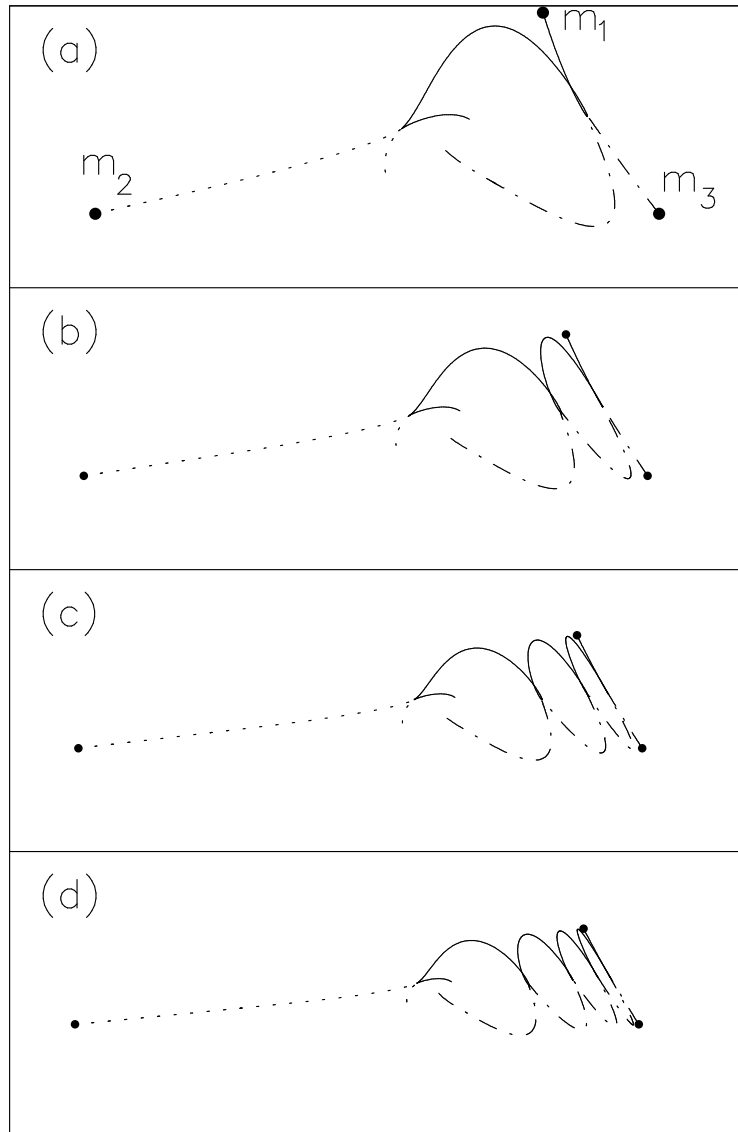


図 9: タイプ 3 の衝突曲線列の軌道. (a) $n_{min} = 2$, (b) $n_{min} = 3$, (c) $n_{min} = 4$, and (d) $n_{min} = 5$. 軌道の初期位置は B と C を結ぶ線分と衝突曲線との交点に取った,

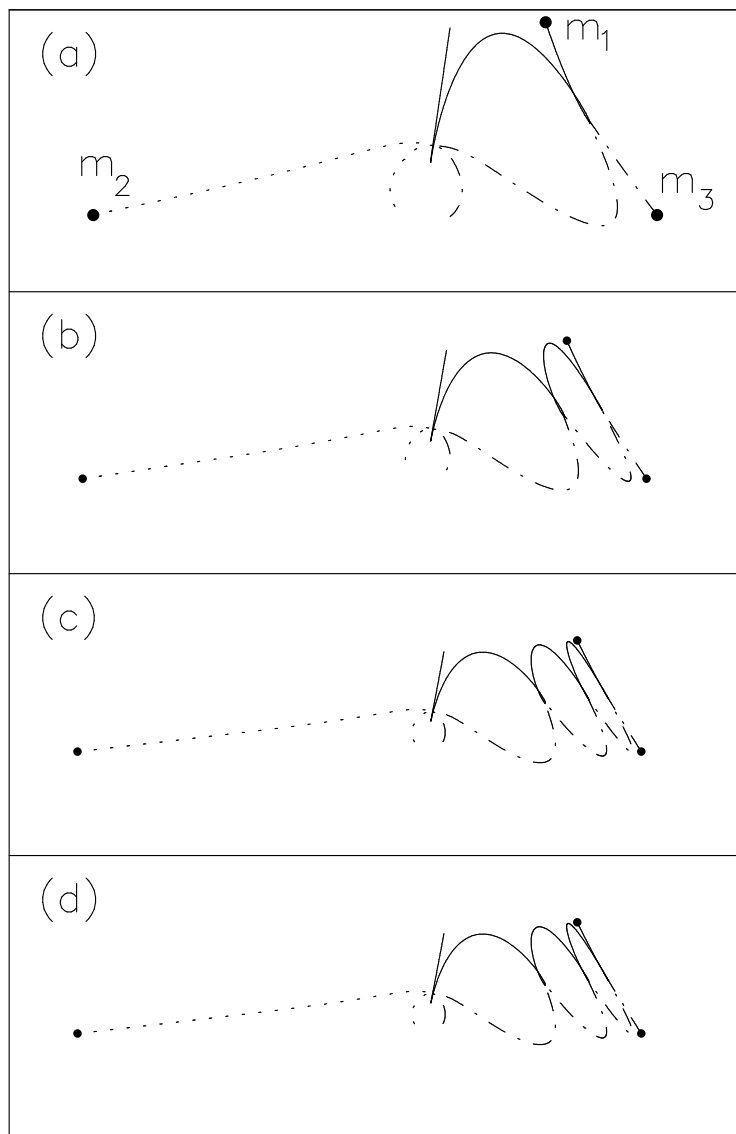


図 10: タイプ 1 の衝突曲線列上の軌道. (a) $n_{min} = 2$, (b) $n_{min} = 3$, (c) $n_{min} = 4$, and (d) $n_{min} = 5$. 軌道の初期位置は B と C を結ぶ線分と衝突曲線との交点に取った,